



БИООРГАНИЧЕСКАЯ ХИМИЯ

том 6 * № 5 * 1980

УДК 547.963.4+548.737

ЛЕГГЕМОГЛОБИН II ЖЕЛТОГО ЛЮПИНА. ОСОБЕННОСТИ ЕГО СТРУКТУРЫ В СРАВНЕНИИ С МИОГЛОБИНОМ КАШАЛОТА

Вайнштейн Б. К., Куранова И. Н., Арутюнян Э. Г.

*Институт присталлографии им. А. В. Шубникова
Академии наук СССР, Москва*

Егоров П. А.

*Институт биоорганической химии им. М. М. Шемякина
Академии наук СССР, Москва*

Проведен сравнительный анализ третичных структур леггемоглобина II желтого люпина и миоглобина кашалота. Оба белка имеют довольно сходную пространственную структуру, различаясь в некоторых деталях, что, возможно, связано со спецификой функционирования этих молекул. В отличие от миоглобина молекула леггемоглобина имеет 7 спиралей (*A, B, C, E, F, G, H*), из которых спирали *E* и *F* удлинены соответственно на 5 и 4 остатка; спираль *D* практически отсутствует. Все неспиральные участки укорочены, за исключением участка *CD*, который удлиняется на 2 остатка. При сопоставлении аминокислотных последовательностей обоих белков с учетом расположения спиральных и неспиральных участков оказываются инвариантными 26 аминокислотных остатков, включая дистальный *E7* и проксимальный *F10* (*F8* по миоглобиновой номенклатуре) остатки гистидина; *Phe CD1*, а также ряд других аминокислот, которые, за исключением *His B5*, *Ile B11* и *Lys CD5*, в обеих молекулах участвуют в одной и той же системе контактов. Удлинение спиралей *E* и удаление участка *EF* от гема привело к образованию полости между спиралью *E*, *F*, *H* и участком *EF*, которая не описана в миоглобине. Полость гемового кармана в леггемоглобине больше и, по-видимому, может вместить более крупные лиганды, чем O_2 . Гем находится в окружении боковых цепей гидрофобных аминокислот, которые, как и в миоглобине, образуют три кластера. Кластеры в обеих молекулах весьма сходны по строению. Однако кластер дистального гистидина в леггемоглобине отличается высоким содержанием ароматических аминокислот, а кластер проксимального гистидина — более плотной упаковкой и отсутствием полости, обнаруженной в миоглобине.

Характерной особенностью белков семейства гемоглобинов, выделенных из различных источников (животные, насекомые, колышчатые черви, моллюски), является сходство их третичной структуры, которую часто называют укладкой полипептидной цепи миоглобинового типа [1–5].

Леггемоглобин, обнаруженный в клубеньках ряда бобовых растений, инокулированных бактериями штамма *Rhizobium*, является мономерным гемопротеидом, функция которого предположительно заключается в снабжении кислородом азотфиксациующих бактероидов [6]. Недавно в Институте биоорганической химии АН СССР им. М. М. Шемякина установлена первичная структура двух основных компонентов леггемоглобина, выделенных из клубеньков желтого люпина (*Lupinus luteus L.*) — леггемоглоби-

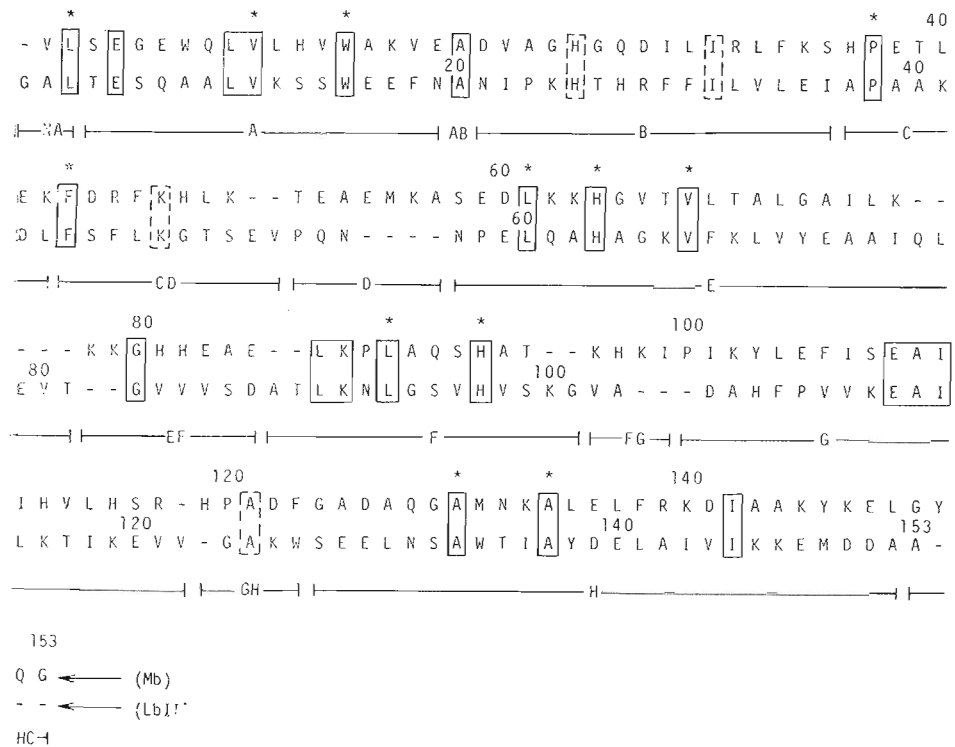


Рис. 1. Сравнение аминокислотных последовательностей миоглобина (Mb) кашалота и леггемоглобина II жгутового люпина (Lb) в соответствии с данными рентгеноструктурного анализа. В рамках показаны инвариантные остатки. Звездочками отмечены аминокислоты, выполняющие одинаковую роль в обоих белках. В пунктирных рамках показаны инвариантные аминокислоты, которые в сравниваемых белках участвуют в различной системе контактов. А — Ala, Д — Asp, Е — Glu, F — Phe, Г — Gly, Н — His, І — Ile, К — Lys, Л — Leu, М — Met, Н — Asn, Р — Pro, Q — Gln, Р — Arg, С — Ser, Т — Thr, В — Val, W — Trp, Ў — Tyr

на I и леггемоглобина II, отличающихся 20 аминокислотными остатками [7, 8], а в Институте кристаллографии АН СССР им. А. В. Шубникова определена третичная структура леггемоглобина II с разрешением 2,8 Å [9]. Оказалось, что леггемоглобин принадлежит к белкам миоглобинового типа. Однако известно, что леггемоглобин отличается от миоглобина рядом свойств, в особенности способностью связывать кислород [10], а также некоторые объемные лиганды, такие, как никотиновая кислота [11] и алифатические кислоты [12]. В связи с этим представлялось интересным проследить особенности строения этих гомологичных молекул. В настоящей работе проведен сравнительный анализ первичной и пространственной структур леггемоглобина II люпина и миоглобина кашалота, структура которого была уточнена Такано при разрешении 2 Å [13].

Гомология первичной и пространственной структур. О степени гомологии первичной структуры белков можно судить, сопоставляя аминокислотные последовательности по принципу получения наибольшего сходства. Однако такое сравнение без учета пространственной структуры не позволяет выявить действительную степень гомологии родственных белков. Очевидно, что наиболее точная картина может быть получена при расположении аминокислотных последовательностей в соответствии с данными рентгеноструктурного анализа. На рис. 1 приведено такое распределение аминокислотных последовательностей миоглобина кашалота и леггемоглобина II люпина по спиральным и неспиральным участкам. При этом из 153 аминокислотных остатков, имеющихся в каждом из белков, инвариант-

ными оказываются только 26. Из них 13, существенные для функции или поддержания структуры, выполняют одинаковую роль в обоих белках (на рис. 1 они отмечены звездочками). К ним относятся: остатки дистального (*E7*) и проксимального (*F8*) гистидинов; Phe *CD1*, плоскость ароматического кольца которого параллельна плоскости гема; Pro *C2*, обеспечивающий резкий поворот цепи при переходе от спирали *B* к спирали *C*; Leu *N43*, фиксирующий N-концевой участок полипептидной цепи у поверхности глобулы; Val *A8*, Leu *E4*, Val *E11*, Ile *G11*, Leu *F6*, Ile *H11*, входящие в состав гидрофобных кластеров; Trp *A12*, расположенный в щели между спиралью *A* и *E*, и Ala *H7*. Из остальных 13 инвариантных остатков три несколько различаются по расположению в глобулах сравниваемых белков: остаток His *B5* в леггемоглобине сближен со спиралью *G*, а не с участком *GH*, как в миоглобине; боковая цепь Lys *CD5* в леггемоглобине направлена в растворитель, в то время как в миоглобине она образует солевую связь с Asp *CD2* и стабилизирует конформацию полипептидной цепи на участке *CD*; остаток Ile *B11* в леггемоглобине контактирует с участком *CD*, а не со спиралью *D*.

Несмотря на малое число абсолютных совпадений в аминокислотной последовательности, миоглобин и леггемоглобин довольно сходны по третичной структуре. Это обстоятельство становится более понятным, если учсть следующее. Из 82 аминокислотных остатков, инвариантных для миоглобинов 24 видов животных*, 37 остатков в сравниваемой паре хотя и отличаются по химической природе, но в каждой из молекул участвуют в одной и той же системе контактов, т. е. являются позиционно эквивалентными (см. табл. 1). Еще в 13 случаях при заменах сохраняется гидрофобный либо гидрофильный характер остатка. В итоге около 75% рассмотренных замен не оказывают заметного влияния на конформацию полипептидной цепи. Особо важная роль гидрофобных контактов для поддержания структуры белковой глобулы подчеркивалась неоднократно. Так, при анализе структуры пяти глобулинов (α - и β -цепи гемоглобинов, миоглобин, гемоглобин миноги и эритрокруорин), проведенным Козицким и Птицким [14], было показано, что в каждом из них сохраняется 15 из 30 гидрофобных контактов. Из этих 15 контактов, общих для упомянутых белков, 10 существуют и в молекуле леггемоглобина (табл. 2).

При оценке сходства белков по аминокислотной последовательности замены, изменяющие полярность остатка, часто относят к «неразрешенным». Однако это не всегда справедливо. Взаимодействие между парой аминокислотных остатков может сохраняться, если полярность обоих контактирующих партнеров меняется в структуре одновременно. Например, конформация полипептидной цепи миоглобина на участке *GH* поддерживается водородной связью между остатками Asp *GH4* и Lys *A14*, причем эта связь очень характерна и имеется во всех до сих пор изученных миоглобинах и гемоглобинах животного происхождения. В полипептидной цепи леггемоглобина полярные остатки поменялись местами, т. е. место Asp *GH4* занимает Lys *GH3*, а место Lys *A14* занимает Glu *A14*, при этом положение контакта в пространстве молекулы сохранилось (см. рис. 1 и табл. 1).

Не всегда нарушает структурную гомологию небольшое смещение одного из контактирующих остатков вдоль полипептидной цепи, поскольку пространственное положение контактирующих боковых цепей в этом случае меняется мало. Например, один из контактов между спиралью *G* и *H* в миоглобине осуществляется с помощью водородной связи между Glu *G6* и Arg *H16*, а в леггемоглобине на расстояние ван-дер-ваальсовых радиусов сближены Pro *G5* и боковая цепь Lys *H20* и т. д. (см. табл. 1). Эти факты еще раз подтверждают, что лишь совокупный анализ первичной и пространственной структур выявляет истинную степень гомологии белков.

* По данным Такано [13].

Таблица 1

Расположение некоторых аминокислотных остатков в миоглобине кашалота* и легемоглобине II лохана

| Номер в аминокислотной последовательности | Номер в спиральных или неспиральных участках | Аминокислота ** | Наиболее существенные контакты *** | Наиболее существенные контакты *** | Легемоглобин | | | |
|---|--|-----------------|--|------------------------------------|---|-----------------------------|---|------------------------------------|
| | | | | | Номер в аминокислотной последовательности | Номер в спиральных участках | Аминокислота ** | Наиболее существенные контакты *** |
| Миоглобин | | | | | | | | |
| 2 | NA2 | Leu (B) | В контакте со спиралью H | 3 | A43 | Leu (B) | В контакте со спиралью H | |
| 3 | A1 | Ser (H) | Водородная связь с NH-группой Glu A4 | 4 | A1 | Thr (H) | Водородная связь с γ-CO-группой Glu A2 и γ-CO-группой Glu E23 | |
| 6 | A4 | Glu (H) | Водородная связь с Ser A1, стабилизирует Leu NA2 | 7 | A4 | Cln (H) | Водородная связь с Glu H3 | |
| 7 | A5 | Trp (H) | Междуду Leu NA2 и Lys EF2 | 8 | A5 | Ala (H) | Роль нейгена | |
| 10 | A8 | Val (B) | В контакте со спиралью H, в гидрофобном кластере III | 11 | A8 | Val (B) | В контакте со спиралью H (Trp H8 и Leu H4) | |
| 11 | A9 | Leu (H) | | | | | Водородная связь с Glu A13 | |
| 14 | A12 | Trp (H) | Водородная связь с Glu A16, который в свою очередь связан с Lys E20; удерживает спирали A и E вместе | 12 | A9 | Trp (H) | π-Электронное взаимодействие с π-электронами кольца с арильным кольцом Тир E16, удерживает спирали A и E вместе | |
| 16 | A14 | Lys (H) | Солевой мостик с Asp GH4 | 17 | A14 | Glu (H) | Взаимодействие с Lys GH4 | |
| 17 | A15 | Val (B) | Входит в гидрофобный кластер III | 18 | A15 | Phe (B) | Входит в гидрофобный кластер III | |
| 18 | A16 | Glu (H) | Водородная связь с Trp A12 | 19 | A16 | Asn (H) | Контактирует с растворителем | |
| 20 | B1 | Asp (H) | Водородная связь с NH-группой Gly B4, стабилизирует угол между спиралами A и B | 21 | B1 | Asn (H) | Водородная связь с NH-группой Lys B4, стабилизирует угол между спиралами A и B | |
| 24 | B5 | His (B) | Водородная связь с His GH1, стабилизирует участок GH | 25 | B5 | His (B) | Контакт с Phe A15 и Val G18 | |
| 25 | B6 | Gly (B) | Контакт с Gly E8 | 26 | B6 | Thr (B) | Контакт с Ala E8 | |
| 29 | B10 | Leu (B) | Входит в гидрофобный кластер I | 30 | B10 | Phe (B) | Входит в гидрофобный кластер I | |

Таблица 1 (продолжение)

| Номер в аминокислотной последовательности | Номер в спиральных или неспиральных участках | Аминокислота ** | Наиболее существенные контакты *** | Наиболее существенные контакты *** | Номер в аминокислотной последовательности | Номер в спиральных или неспиральных участках | Аминокислота ** | Наиболее существенные контакты *** |
|---|--|--------------------|---|------------------------------------|---|--|-----------------|--|
| Миоглобин | | | | | | | | |
| 30 | <i>B14</i> | Ile (п) Leu (в) | Контакт между спиралами <i>B</i> и <i>D</i> Входит в гидрофобный кластер I | 31 | <i>B41</i> | Ile (п) Val (в) | | Контакт с участком <i>CD</i> Входит в гидрофобный кластер I |
| 32 | <i>B13</i> | Phe (в) | Входит в гидрофобный кластер I | 33 | <i>B13</i> | Leu (п) | | Контакт со спиралью <i>C</i> |
| 33 | <i>B14</i> | His (п) | Контакт с Phe <i>C7</i> | 34 | <i>B14</i> | Ala (п) | | Контакт с Val <i>G6</i> |
| 36 | <i>C1</i> | Pro (н) | Крукий поворот от спирали <i>B</i> к спирали <i>C</i> | 37 | <i>C1</i> | Pro (н) | | Крукий поворот от спирали <i>B</i> к спирали <i>C</i> |
| 37 | <i>C2</i> | | | 38 | <i>C2</i> | | | Роль неясна |
| 38 | <i>C3</i> | Glu (н) | Водородная связь с NH-группой Glu <i>C3</i> | 39 | <i>C3</i> | Ala (н) | | Расположен на расстоянии 5 Å от темы |
| 39 | <i>C4</i> | Thr (в) | Контакт с гемом, водородная связь с CO-группой His <i>C1</i> | 40 | <i>C4</i> | Ala (в) | | Водородная связь с Thr <i>CD7</i> , расположена между спиралью <i>C</i> и участком <i>CD</i> |
| 40 | <i>C5</i> | Leu (п) | Расположен между спиралью <i>C</i> и участком <i>CD</i> | 41 | <i>C5</i> | Lys (н) | | Остаток плохо фиксирован |
| 41 | <i>C6</i> | Glu (н) | В контакте с Lys <i>CD8</i> через молекулу H ₂ O | 42 | <i>C6</i> | Asp (н) | | |
| 43 | <i>CD1</i> | Phe (в) | Контакт с гемом; параллелен плоскости гема; входит в кластер I | 44 | <i>CD1</i> | Phe (в) | | Контакт с гемом; параллелен плоскости гема; входит в кластер I |
| 44 | <i>CD2</i> | Asp (н) | Солевая связь с Lys <i>CD5</i> , стабилизирует участок <i>CD</i> | 45 | <i>CD2</i> | Ser (н) | | Водородная связь с пропионовой кислотой пиррола III |
| 46 | <i>CD4</i> | Phe (в) | Входит в кластер I | 47 | <i>CD4</i> | Leu (в) | | Входит в кластер I, взаимодействует со спиралью <i>C</i> |
| 47 | <i>CD5</i> | Lys (н) | Солевая связь с Asp <i>CD2</i> , стабилизирует участок <i>CD</i> | 48 | <i>CD5</i> | Lys (н) | | Взаимодействует с растворителем |
| 48 | <i>CD6</i> | His (н) | В контакте с CO-группой Asp <i>CD2</i> через молекулу H ₂ O, стабилизирует участок <i>CD</i> | 49 | <i>CD6</i> | Gly (н) | | Роль неясна |

Таблица 1 (продолжение)

| Номер в аминокислотной последовательности | Номер в спиральных участках | Аминокислота *** | Наиболее существенные контакты *** | Многолюбия | | Номер в аминокислотной последовательности | Номер в спиральных участках или неспиральных участках | Аминокислота *** | Наиболее существенные контакты *** |
|---|-----------------------------|------------------|---|------------|--------------|---|--|------------------|------------------------------------|
| | | | | Многолюбия | Легемоглобин | | | | |
| 49 | CD7 | Leu (n) | В гидрофобном кластере His E7 | 50 | CD7 | Thr (n) | Водородная связь с Lys C5, стабилизирует угол между спиралью C и участком CD | | |
| 50 | CD8 | Lys (n) | В контакте с CO-группой Asp CD2 через H ₂ O, стабилизирует участок C | 51 | CD8 | Ser (n) | Направлен в растворитель | | |
| 55 | D5 | Met (B) | Расположен между участком CD и спиралью D | 57 | E1 | Asn (n) | В легемоглобине отсутствует | | |
| 58 | E1 | Ser (n) | Водородная связь с CO-группой Leu E4, начало спирали E | 58 | E2 | Pro (n) | Водородная связь с NH-группой Leu E4 | | |
| 59 | E2 | Glu (n) | В контакте с Lys E5 через молекулу H ₂ O | 60 | E4 | Leu (B) | Поворот к спирали E | | |
| 61 | E4 | Leu (n) | Входит в кластер I | 62 | E6 | Ala (B) | Входит в кластер I | | |
| 63 | E6 | Lys (n) | Соловой мостик с соседней молекулой | 63 | E7 | His (B) | Водородная связь с шестым лигандом гема | | |
| 64 | E7 | His (B) | Водородная связь с шестью лигандами, контакт с гемом | 64 | E8 | Ala (B) | Водородная связь с шестым лигандом гема | | |
| 65 | E8 | Gly (B) | В контакте с Gly B6 | 67 | E11 | Val (B) | В контакте с Thr B6 | | |
| 68 | E11 | Val (B) | Контакт с гемом, входит в кластер I | 68 | E12 | Phe (B) | Контакт с гемом, входит в кластер I | | |
| 69 | E12 | Leu (B) | Входит в кластер III | 68 | E14 | Leu (B) | Входит в кластер I | | |
| 71 | E14 | Ala (n) | Контакт с гемом | 70 | E15 | Val (B) | Контакт с метильной группой пирирольного кольца I гема, входит в кластер III | | |
| 72 | E45 | Leu (B) | Контакт с винильной группой гема, входит в кластер III | 71 | | | | | |
| 73 | E16 | Gly (n) | Контакт с Trp A12 | 72 | E16 | Tyr (B) | Контакт с Trp A12 | | |
| 75 | E18 | Ile (B) | Входит в гидрофобный кластер II | 74 | E18 | Ala (B) | Контакт с Leu E14 | | |

Таблица 1 (продолжение)

| Номер в аминокислотной последовательности | Номер в спиральных или неспиральных участках | Аминокислота ** | Наиболее существенные контакты *** | Миоглобин | | | | Легемоглобин | | | |
|---|--|-----------------|--|---|--|-----------------|---|--|-----------------|--|------------------------------------|
| | | | | Номер в аминокислотной последовательности | Номер в спиральных или неспиральных участках | Аминокислота ** | Наиболее существенные контакты *** | Номер в спиральных или неспиральных участках | Аминокислота ** | Номер в спиральных или неспиральных участках | Наиболее существенные контакты *** |
| 76 | E19 | Leu (в) | Гидрофобный кластер III Солевой мостик с Glu A16, стабилизирующий спираль A и E | 75 | E19 | Ala (в) | Гидрофобный кластер III Контакт со спиралью A через Ala A5 | | | | |
| 77 | E20 | Lys (H) | Солевая связь с соседней молекулой | 76 | E20 | Ile (п) | В легемоглобине отсутствует | | | | |
| 78 | EF1 | Lys (в) | Солевой мостик с Glu A2, стабилизирующий N-конец спирали A | | | | To же | | | | |
| 79 | EF2 | Lys (H) | | | | | | | | | |
| 80 | EF3 | Gly (H) | | 82 | EF1 | Gly (H) | | | | | |
| 82 | EF5 | His (п) | Водородная связь с Asp H18, стабилизирует участок EF и спираль H | 84 | EF3 | Val (п) | Контакт с Leu F3, Leu H21, стабилизирует участок EF | | | | |
| 84 | EF7 | Ala (H) | | 86 | EF5 | Ser (H) | | | | | |
| 89 | F4 | Leu (в) | Входит в гидрофобный кластер II, контакт с гемом | 93 | F6 | Leu (в) | Входит в гидрофобный кластер II, контакт с гемом | | | | |
| 90 | F5 | Ala (п) | Контакт со спиралью H | 94 | F7 | Gly (B) | Контакт со спиралью H | | | | |
| 92 | F7 | Ser (п) | Контакт с гемом. Водородная связь с CO-группой Pro F3 или CO-группой Leu F4 | 96 | F9 | Val (п) | На расстоянии 4,5 Å от гема и His F10(F8) | | | | |
| 93 | F8 | His (в) | Пятый лиганд железа гема | 97 | F10 | His (в) | Пятый лиганд железа гема | | | | |
| 94 | F9 | Ala (п) | Контакт со спиралью H | 98 | F11 | Val (п) | Контакт со спиралью H (C _α Met H23) | | | | |
| 96 | FG1 | Lys (H) | Не определены | 100 | F43 | Lys (H) | Водородная связь с остатком пропионовой кислоты пиррольного кольца III гема | | | | |

Таблица 4 (продолжение)

| Номер в аминокислотной последовательности | Номер в спиральных или неспиральных участках | Аминокислота** | Наиболее существенные контакты ** | Миоглобин | | | | Наиболее существенные контакты *** |
|---|--|----------------|---|---|--|----------------|--------------|---|
| | | | | Номер в аминокислотной последовательности | Номер в спиральных или неспиральных участках | Аминокислота** | Легемоглобин | |
| Миоглобин | | | | | | | | |
| 97 | FG2 | His (n) | Контакт с гемом. Водородная связь с остатком пролиновой кислоты, стабилизирующей гем и участок FG | 102 | FG2 | Ala (v) | Asp (n) | Контакт с гемом, входит в кластер II |
| 100 | G1 | Pro (n) | Резкий поворот от участка FG к спирали G | 104 | G1 | | Phe (v) | Поворот от участка FG к спирале G |
| 104 | G5 | Leu (v) | Контакт с гемом, входит в гидрофобный кластер II | 107 | G4 | | Pro (n) | Контакт с гемом, входит в гидрофобный кластер II |
| 105 | G6 | Glu (n) | Водородная связь с Arg H16, стабилизирующая спираль G и H | 108 | G5 | | Val (v) | Контакт со спиралью H |
| 107 | G8 | Ile (v) | Контакт с гемом | 110 | G7 | | Lys (n) | Контакт с углеродом метильной группы пиррольного кольца II гема |
| 108 | G9 | Ser (n) | Водородная связь с CO-группой Leu G5 | 111 | G8 | | Ala (n) | Водородная связь с Asp H13 |
| 111 | G12 | Ile (v) | Входит в гидрофобный кластер III | 114 | G11 | | Trp (n) | Входит в гидрофобный кластер III |
| 119 | GH1 | His (n) | Водородная связь с His B5, стабилизирует участок GH | 123 | GH1 | | Glu (v) | В гидрофобном кластере III |
| 123 | GH5 | Phe (v) | На две гидрофобные кластера III | 126 | GH4 | | Trp (n) | Водородная связь с Glu A4 |
| 126 | H3 | Asp (n) | Водородная связь с NH-группой Ala H4 | 129 | H3 | | Glu (v) | Контакт со спиралью A |
| 130 | H7 | Ala (n) | Контакт со спиралью A | 133 | H7 | | Ala (n) | Входит в гидрофобный кластер III |
| 131 | H8 | Met (v) | | 134 | H8 | | Trp (n) | |

Таблица 1 (окончание)

| Номер в аминокислотной последовательности | Номер в спиральных участках | Аминокислота ** | Наиболее существенные контакты *** | Миоглобин | | Гемоглобин | |
|---|-----------------------------|-----------------|--|---|-----------------------------|--|--|
| | | | | Номер в аминокислотной последовательности | Номер в спиральных участках | Номер в спиральных или неспиральных участках | Аминокислота ** |
| 133 | <i>H10</i> | Lys (в) | Солевый мостик с Glu <i>A4</i> , стабилизирующий N-конец спирали <i>A</i> | 436 | <i>H10</i> | lle (в) | Контакт с Leu <i>N43</i> и Leu <i>E22</i> , стабилизирующий N-конец спирали <i>A</i> |
| 134 | <i>H11</i> | Ala (в) | Входит в гидрофобный кластер III | 137 | <i>H11</i> | Ala (в) | Входит в гидрофобный кластер III |
| 135 | <i>H12</i> | Leu (в) | Входит в гидрофобный кластер III | 138 | <i>H12</i> | Tyr (в) | То же |
| 136 | <i>H13</i> | Glu (к) | Контакт с Asn <i>H9</i> через молекулу H_2O | 139 | <i>H13</i> | Asp (к) | Контакт с винильной группой широкольного колыда гема, входящий в кластер II |
| 137 | <i>H14</i> | Leu (н) | Контакт с гемом, входит в гидрофобный кластер II | 140 | <i>H14</i> | Glu (п) | Контакт с Asp <i>G1</i> |
| 138 | <i>H15</i> | Phe (в) | Контакт с гемом, входит в гидрофобный кластер II | 141 | <i>H15</i> | Leu (н) | Контакт с участком <i>EF</i> и спиралью <i>F</i> через Leu <i>F3</i> |
| 139 | <i>H16</i> | Arg (н) | Солевый мостик с Glu <i>G6</i> , стабилизирующий спирали <i>G</i> и <i>H</i> | 142 | <i>H16</i> | Ala (н) | Водородная связь с Asp <i>G1</i> |
| 141 | <i>H18</i> | Asp (н) | Водородная связь с His <i>EF5</i> , стабилизирующая участок <i>EF</i> и спираль <i>H</i> | 144 | <i>H18</i> | Val (в) | Контакт с участком <i>EF</i> и спиралью <i>F</i> через Leu <i>F3</i> |
| 143 | <i>H20</i> | Ala (н) | Водородная связь с CO-группой <i>IlleFG4</i> , стабилизирующая C-конец спирали <i>H</i> | 146 | <i>H20</i> | Lys (н) | Водородная связь с Asp <i>G1</i> |
| 146 | <i>H23</i> | Tyr (в) | Солевая связь с C-концевой группой белка | 149 | <i>H23</i> | Met (в) | Контакт с <i>C₂</i> Phe <i>G4</i> и с <i>C₆</i> Val <i>F1</i> , стабилизирует C-конец спирали <i>H</i> |
| 147 | <i>H24</i> | Lys (к) | Солевая связь с C-концевой группой белка | 150 | <i>H24</i> | Asp (к) | В легтемоглобине отсутствует |
| 150 | <i>HC1</i> | Gly (н) | | 153 | <i>HC1</i> | Ala (н) | |
| 153 | <i>HC4</i> | Gly (н) | | | | | |

* По данным Такано [13].

** Аминокислотные остатки, расположенные: внутри молекулы (в); снаружи, контактируют с растворителем (н); в углублениях на поверхности молекулы, частично контактируют с растворителем (н).

*** Под контактом здесь и далее имеется в виду ван-дер-ваальсов взаимодействие.

Таблица 2

Гидрофобные контакты между парами аминокислотных остатков в миоглобине и леггемоглобине II

| Миоглобин [14] | Леггемоглобин II | Миоглобин [14] | Леггемоглобин II |
|-------------------|---------------------|-------------------|---------------------|
| Tyr H23 | — | Gly B6 | Thr B6 |
| Ile FG4 | — | Gly E8 | Ala E8 |
| Ile H19 | Ile H19 | Gly E8 | — |
| Leu G5 | Phe G4 | Leu B10 | — |
| Leu F1 | — | Leu B10 | Phe B10 |
| Phe H15 | Leu H15 | Leu E4 | Leu E4 |
| Leu E15 | Val E15 | Phe B14 | — |
| Leu E15 | Tyr E16 | Phe B14 | — |
| Trp A12 | Trp A12 | Phe CD1 | — |
| Trp A12 | Trp A12 | Phe CD1 | Phe CD1 |
| Leu E19 | Ala E19 | Phe CD4 | Phe CD3 |
| Leu E19 | Ala E19 | Phe CD4 | Phe CD3 |
| Val A8 | Val A8 | Leu E4 | Leu E4 |
| Ile G8 | Val G7 | | |
| Leu B13 | Val B13 | | |

Из приведенных примеров следует, что конфигурация полипептидной цепи может оставаться постоянной при компенсируемых заменах, а также при заменах, не меняющих объем и полярность остатка и, следовательно, не нарушающих порядок чередования полярных и неполярных аминокислот.

Сравнительная морфология молекул миоглобина и леггемоглобина. Рентгеноструктурный анализ (рис. 1) показал, что, хотя оба белка весьма сходны по количеству и распределению спиральных и неспиральных участков, между ними существуют и определенные различия. Так, из восьми спиральных участков, имеющихся в миоглобине (*A, B, C, D, E, F, G, H*), в леггемоглобине фактически присутствует только семь, так как спираль *D* состоит из трех остатков и не образует полного витка. Пять спиралей (*A, B, C, G, H*) совпадают по длине, а спирали *E* и *F* в леггемоглобине удлинены на пять и четыре остатка соответственно. Удлинение спирали *E* с *C*-конца на пять остатков, что составляет 7,5 Å вдоль ее оси, приводит к удалению от гема неспирального участка *EF* и изменению его конфигурации, а также к появлению полости между спиралью *E*, *F*, *H* и участком *EF*, не обнаруженной в миоглобине. Спираль *F* в леггемоглобине удлинена на два остатка как с *N*-, так и с *C*-конца, поэтому начало отсчета в ней смешено, так чтоproxимальный гистидин *F8* по миоглобиновой номенклатуре становится 10-м в спирали *F* леггемоглобина. Удлиненный *C*-конец этой спирали фиксирован более жестко, чем в миоглобине, так как *ε*-аминогруппа *Lys F13* связана водородной связью с карбоксильной группой пропионовой кислоты пиррола III порфирирового кольца.

Ориентация спиралей *A, B, C, E, F* и *H* относительно ядра глобулы довольно сходна. Благодаря этому в большинстве межспиральных контактов участвуют пары остатков, занимающие одинаковую позицию в соответствующих спиралах сравниваемых белков. Исключение составляет спираль *G* леггемоглобина. Хотя общее число остатков этой спирали, контактирующих с гемом, то же, что и в миоглобине, однако из-за некоторого иного ее поворота вокруг оси пятый остаток, который в миоглобине сближен с гемом, в леггемоглобине направлен к спирали *H*, а с гемом сближен остаток *Phe G4*. На рис. 1 изменение положения спирали *G* в леггемоглобине показано сдвигом на один остаток относительно соответ-

вующей спирали миоглобина (рис. 1). Кроме того, в отличие от миоглобина эта спираль в леггемоглобине менее регулярная.

На участке максимального сближения спиралей *B* и *E* в миоглобине, как и в большинстве гемоглобинов позвоночных, находятся остатки глицина (*B6* и *E8*). В леггемоглобине соответствующей парой являются остатки большего объема (*Thr B6* и *Ala E8*). Вследствие этого в леггемоглобине спирали *B* и *E* расходятся больше и несколько увеличивается объем гемового кармана.

Среди неспиральных участков сравниваемых белков также наблюдаются различия. Так, участки *CD* и *EF* в леггемоглобине фиксированы менее жестко, чем в миоглобине, что затрудняет выяснение роли входящих в них аминокислотных остатков. Участок *CD* в леггемоглобине расположен несколько иначе относительно глобулы. Боковая цепь Lys *CD5*, которая в миоглобине образует водородную связь с Asp *CD2* и тем самым стабилизирует конформацию полипептидной цепи, в леггемоглобине направлена в растворитель, а боковая цепь Ser *CD2* развернута в сторону гема и вместе с ε-аминогруппой Lys *F13* образует водородную связь с карбоксильной группой пиррола III. В миоглобине аналогичную роль выполняет остаток Arg *CD3*. Конфигурация участков *EF* в обеих молекулах также различна. Тем не менее остатки His *EF5* в миоглобине и Ser *EF5* в леггемоглобине контактируют с одними и теми же районами спиралей *F* и *H*.

Наиболее короткий в леггемоглобине по сравнению с миоглобином участок *FG*. Он состоит всего из двух остатков. Возможно, что изменение конформации этого фрагмента, обычно участвующего в контактах между субъединицами в тетрамерных гемоглобинах, объясняет неспособность леггемоглобина к димеризации. В миоглобине на участке *FG* имеется His *FG2*, связанный водородной связью с карбоксильной группой остатка пропионовой кислоты пиррола IV. В леггемоглобине этот остаток гистидина заменен на остаток аланина, а карбоксильная группа остатка пропионовой кислоты свободна и направлена в растворитель. Остальные два неспиральных участка в леггемоглобине (*GH* и *HC*) также укорочены на один и три аминокислотных остатка соответственно, а участок *NA* удлинен на один остаток.

Таким образом, в леггемоглобине по сравнению с миоглобином наблюдается тенденция к удлинению спиральных и укорачиванию неспиральных участков.

Гидрофобные кластеры в леггемоглобине и миоглобине. Леггемоглобин, как и миоглобин, является гидрофобным белком, состоящим на 50% из гидрофобных аминокислот. Остатки гидрофобных аминокислот в миоглобине, обычно далеко отстоящие друг от друга в полипептидной цепи, расположаются, как правило, на внутренних сторонах спиральных и неспиральных участков и образуют в пространстве несколько гидрофобных кластеров — гидрофобное ядро белковой глобулы. Эти остатки находятся на расстоянии ван-дер-ваальсовых радиусов и закрепляют относительное расположение спиралей, создающее характерный пространственный рисунок молекулы. Следует помнить, что способ выделения кластеров несколько произведен, так как часто на границе между кластерами имеются остатки, которые можно отнести к любому из них. Такапо выделяет три основных кластера [13]. Их состав в миоглобине и леггемоглобине приведен в табл. 3 и 4.

Кластер I включает в себя гидрофобные остатки между дистальным гистидином, спиралью *B* и участком *CD* (кластер вблизи дистального гистидина) и окружает полость, занимаемую шестым лигандом. Кластер II содержит окружение проксимального гистидина, а кластер III — остатки, выстилающие наиболее удаленную от гема часть полости гемового кармана.

Кластер I леггемоглобина (табл. 3) образован гидрофобными остатками, принадлежащими в основном тем же участкам молекулы, что и в миоглобине, за исключением Leu *B14*, который в леггемоглобине сильно сме-

Таблица 3

**Аминокислотные остатки в миоглобине и леггемоглобине II,
входящие в кластер дистального (*E7*) и
проксимального (*F8*) гистидинов**

| Кластер I гистидина <i>E7</i> | | Кластер II гистидина <i>F8</i> | |
|-------------------------------|------------------|--------------------------------|------------------------------|
| Миоглобин | Леггемоглобин II | Миоглобин | Леггемоглобин II |
| Val <i>E11</i> | Val <i>E11</i> | His <i>F8</i> | His <i>F10</i> (<i>F8</i>) |
| His <i>E7</i> | His <i>E7</i> | Ile <i>H19</i> | Ile <i>H19</i> |
| | Phe <i>E12</i> | Phe <i>H15</i> | Leu <i>H15</i> |
| | Phe <i>A15</i> | Leu <i>G5</i> | Phe <i>G4</i> |
| | His <i>B5</i> | | Met <i>H23</i> |
| Ile <i>B9</i> | Phe <i>B9</i> | Ile <i>FG4</i> | Ala <i>FG2</i> |
| Leu <i>B10</i> | Phe <i>B10</i> | Leu <i>F4</i> | Leu <i>F6</i> |
| Leu <i>B13</i> | Val <i>B13</i> | Ala <i>F9</i> | Val <i>F11</i> |
| Phe <i>CD1</i> | Phe <i>CD1</i> | Ile <i>E18</i> | |
| Leu <i>E4</i> | Leu <i>E4</i> | | |
| Phe <i>CD4</i> | Phe <i>CD3</i> | | |
| Phe <i>B14</i> | | | |

Таблица 4

**Аминокислотные остатки в миоглобине и леггемоглобине II,
входящие в кластер III**

| Миоглобин | Леггемоглобин II | Миоглобин | Леггемоглобин II |
|----------------|------------------|----------------|------------------|
| Leu <i>E12</i> | Phe <i>E12</i> | Val <i>A15</i> | Ala <i>H11</i> |
| Ile <i>B9</i> | Phe <i>B9</i> | Ile <i>B11</i> | Phe <i>B10</i> |
| Ile <i>G12</i> | Ile <i>G11</i> | His <i>B5</i> | Phe <i>A15</i> |
| Met <i>H8</i> | Trp <i>H8</i> | Val <i>A8</i> | Val <i>A8</i> |
| Leu <i>E15</i> | Val <i>E15</i> | Leu <i>E19</i> | Ala <i>E19</i> |
| Leu <i>H12</i> | Tyr <i>H12</i> | Phe <i>GH5</i> | Phe <i>GH4</i> |
| | | Ala <i>H11</i> | |

щел к спирале *C* и участку *CD* и в кластер не входит. Остатки Phe *B9* и Phe *E12* находятся на границе кластеров I и III и рассекают полость гемового кармана на две неравные части, одна из которых вмещает лиганд, роль другой неясна. В кластере I шесть остатков фенилаланина, сосредоточенных на небольшом участке, связывают в единый узел С-конец спиралей *A* и N-концы спиралей *B* и *E*. Ароматические остатки в идентичных положениях имеются во всех до сих пор изученных леггемоглобинах [8], и, возможно, характерны для всей группы этих белков.

Кластер проксимального гистидина (II), как и кластер I, расположен вблизи функционального центра молекулы. Согласно стереохимической гипотезе Перутца [15], в соответствующем районе тетрамерных гемоглобинов начинается конформационная перестройка, сопровождающая связывание лиганда. У ряда гемоглобинов ключевую роль в ней играет остаток Тир *NC3*. При оксигенировании гемоглобинов в этом районе происходят наибольшие конформационные изменения: Тир *NC3* вытесняется из кармана между спиралами *E* и *H*, и его смещение в конечном итоге приводит к изменению четвертичной структуры молекулы [16]. В миоглобине соответствующее положение занимает Тир *H23*, который участвует в переходе белка из дезокси- в оксиформу; при этом происходит удлинение водородной связи между гидроксилом Тир *H23* и карбонилом Иле *FG4* [16]. В леггемоглобине этому остатку соответствует остаток Met *H23*. В целом кластер II леггемоглобина отличается рядом особенностей. Хотя, как и в миоглобине, он состоит из восьми аминокислотных остатков, лишь пять из них позиционно эквивалентны (табл. 3 и рис. 1). Остатки Leu *G5* и Иле *FG4* мио-

глубина сопоставимы с остатками Phe *G4* и Ala *FG2* леггемоглобина. Из-за укорачивания участка *FG* в леггемоглобине остаток Phe *G4* внедряется в кластер глубже, чем соответствующий остаток Leu *G5* в миоглобине. Что касается Тир *H23*, то в миоглобине он находится рядом с кластером, а в леггемоглобине он заменен на остаток Met *H23*, который включен в него непосредственно. При этом боковая цепь метионина заполняет пространство между спиральюми *F*, *H*, *G* и участком *FG*. Завершая плотную упаковку остатков на этом участке, остаток метионина защищает гем от проникновения молекул растворителя. В противоположность этому в миоглобине внутри кластера II имеется полость, роль которой не установлена. Без существенной пертурбации остатков она может вмещать атом ксенона (ван-дер-ваальсов радиус 2,2 Å). По расположению, занимаемому боковой цепью Met *H23*, леггемоглобин более всего напоминает гемоглобин *Chironomus* [3]. В этом белке Met *H23*, являющийся C-концевым в его полипептидной цепи, ответственен, по-видимому, за эффект Бора: присоединение лиганда вызывает разрыв водородной связи между карбоксильной группой метионина и одним из остатков гистидина, в результате чего освобождается протон и боковая цепь метионина перемещается в кармане между спиральюми *H* и *F* [17].

Кластер III, защищающий часть полости гемового кармана, в обеих молекулах образован гидрофобными остатками, в основном позиционно эквивалентными. Небольшие различия заключаются в следующем. Вместо His *B5* в леггемоглобине в этот кластер входит Phe *A15*, а вместо Пе *B11* — Phe *B10*, который отделяет полость внутри района *CD* от полости гемового кармана. Leu *H12* заменен в леггемоглобине остатком Тир *H12*. Возможно, что последняя замена наиболее существенна, поскольку в этом случае в полости гемового кармана наряду с дистальным гистидином оказывается вторая полярная группа (ОН-группа Тир *H12*). Интересно, что остаток тирозина в этом положении имеется во всех исследованных леггемоглобинах [18], а также в гемоглобине *Glycera* [5]. Хотя все эти гемоглобины отличаются высоким сродством к кислороду, трудно предположить, что ОН-группа влияет на стабильность кислородного комплекса, так как она находится на значительном расстоянии от центра плоскости гема, над которой расположен лиганд. Скорее всего ее присутствие может понизить окислительный потенциал леггемоглобина.

Таким образом, из проведенного анализа видно, что в обеих молекулах кластеры формируются из аминокислотных остатков, занимающих одинаковые или близкие положения, причем замены осуществляются в пределах группы гидрофобных аминокислот. Благодаря этому пространственный рисунок кластеров изменяется незначительно.

Окружение гемгруппы в молекулах леггемоглобина и миоглобина. Активный центр молекул леггемоглобина и миоглобина — гемгруппа, свойства которой существенно зависят от ее окружения. В связи с этим система контактов гема с глобулой является важнейшей структурной характеристикой этих молекул. Окружающие гем остатки аминокислот показаны на рис. 2 и перечислены в табл. 5. Среди них неизменные в большинстве гемоглобинов остатки дистального (*E7*) и проксимального (*F8*) гистидинов. Число остатков, контактирующих с гемом на стороне дистального гистидина, одинаково в леггемоглобине и миоглобине. Со стороны проксимального гистидина в леггемоглобине с гемом контактирует больше остатков, особенно за счет остатков аминокислот спиралей *G* и *H*, которые в миоглобине удалены от гема более чем на 4 Å. В результате гем в леггемоглобине оказывается глубже утопленным в глобулу.

В миоглобине обе карбоксильные группы пропионовых кислот гема связаны водородными связями с апобелком: одна с Arg *CD3*, а другая — с His *FG2*. Как уже было упомянуто, в леггемоглобине лишь один из двух остатков пропионовой кислоты связан водородной связью с глобулой, в то время как второй свободен и направлен в растворитель.

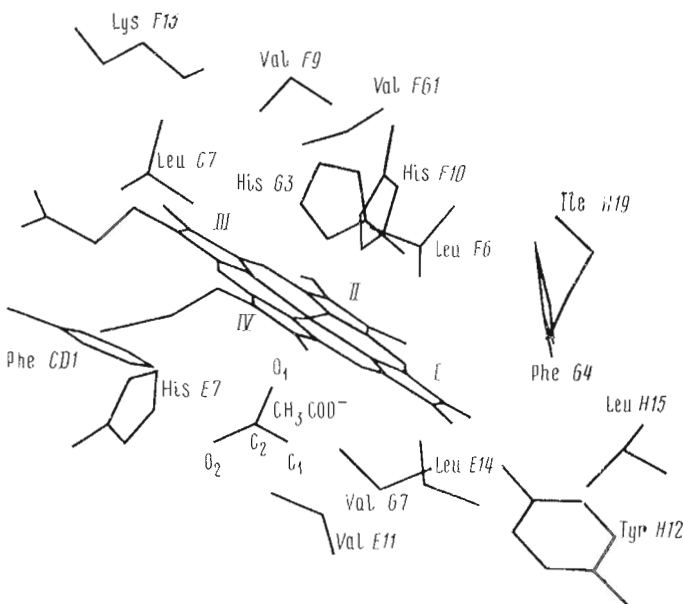


Рис. 2. Изображение гема и его окружения в леггемоглобине II желтого лютина. Показаны аминокислотные остатки, которые расположены от гема на расстоянии не далее 4 Å

Окружение проксимального гистидина в леггемоглобине более гидрофобно. Отсутствует контакт с гемом по остатку Lys E10, боковая цепь которого выходит на поверхность молекулы. Серину F7 многоглобина эквивалентен по положению Val F9, отстоящий несколько дальше от плоскости гема. Суммарное различие в полярных и гидрофобных контактах, вероятно, отражается на конформационной подвижности гемов, однако общая закономерность — сходное расположение контактов в пространстве — соблюдается и в этом случае.

Размер гемового кармана, по-видимому, влияет на степень сродства к кислороду: в полости меньшего объема комплекс с кислородом менее стабилен [4, 5]. В леггемоглобине полость, включающая в себя лиганд, довольно велика. Представление о ее объеме можно получить из расстояния между ближайшими атомами двух пар противолежащих остатков



и расстояния от плоскости гема до расположенного над ним Phe B10, равного 7 Å. По-видимому, полость гема может вместить молекулы, большие, чем кислород.

По ряду физико-химических тестов гемовый карман в леггемоглобине более доступен для лигандов, чем в миоглобине. Такой вывод следует из работ Элфорка по включению в леггемоглобин молекул алифатических кислот [12]. О том же говорят измерения времени магнитной релаксации протоцтов [19]. Тем не менее гемовый карман в леггемоглобине не имеет достаточно большого канала для проникновения молекулы O₂. Этому препятствует имидазольное кольцо дистального гистидина и боковая цепь Val E11. По данным Такано [16], при входе лиганда в гемовую полость многоглобина дистальный гистидин сдвигается. При этом условии вход в полость гемового кармана между His E7, Phe CD1 и Phe CD3 возможен и в леггемоглобине. Кроме того, в леггемоглобине гемовый карман становится доступным для лиганда и с противоположной стороны, между спиралью C и G, при повороте имидазольного кольца His G3 вокруг свя-

Таблица 5

Аминокислотные остатки, окружающие гем
(на расстоянии не более 4 Å)

| Миоглобин | Леггемоглобин | Миоглобин | Леггемоглобин |
|----------------|--------------------|---------------|----------------|
| Phe <i>CD1</i> | Phe <i>CD1</i> | Tyr <i>G4</i> | Phe <i>G4</i> |
| Arg <i>CD3</i> | Ser <i>CD2</i> | Leu <i>G5</i> | Val <i>G6</i> |
| His <i>E7</i> | His <i>E7</i> | Ile <i>G8</i> | Val <i>G7</i> |
| Thr <i>E10</i> | — | — | His <i>G3</i> |
| Val <i>E11</i> | Val <i>E11</i> | — | Leu <i>C7</i> |
| Ala <i>E14</i> | Leu <i>E14</i> | — | Leu <i>F6</i> |
| Leu <i>E15</i> | Val <i>E15</i> | — | Lys <i>F13</i> |
| Ser <i>F7</i> | — | — | Tyr <i>H12</i> |
| His <i>F8</i> | His <i>F10(F8)</i> | — | Ile <i>H19</i> |
| His <i>FG2</i> | — | — | Leu <i>H15</i> |
| Ile <i>FG4</i> | — | — | |

зи C_β — C_γ . Однако, оценивая доступность гемовой полости, следует иметь в виду, что в данной работе изучался гексакоординационный комплекс леггемоглобина, содержащий ион ацетата в качестве шестого лиганда у атома железа [9]. Конформационные состояния молекулы леггемоглобина в случае пяти- и шестикоординационных комплексов могут быть различны.

Сходство пространственных структур молекул миоглобина и леггемоглобина дает основание предположить, что оба белка произошли от общего предшественника, как и другие представители семейства гемоглобинов. Эта точка зрения наиболее широко распространена среди специалистов. Однако нельзя в принципе исключить и другой путь происхождения леггемоглобина — конвергентную эволюцию. В любом случае для функционирования белка важна совершенно определенная конформация полипептидной цепи и наличие некоторых аминокислотных остатков, существенных для взаимодействия с гемом и участия в конформационной перестройке молекулы.

В настоящее время общепризнано, что третичная структура глобулярных белков определяется их первичной структурой. Однако весьма похожие по пространственной структуре миоглобин кашалота и леггемоглобин II желтого люпина имеют лишь 17% инвариантных аминокислот, причем три инвариантных аминокислотных остатка участвуют в обоих белках в разной системе контактов (см. рис. 1 и табл. 1). В то же время в обоих белках высок процент аминокислотных остатков, вовлеченных в образование α -спиралей (77% в миоглобине и почти 80% в леггемоглобине). По-видимому, для спиральной укладки полипептидных цепей, могущих свернуться в глобулу, наиболее важен порядок чередования полярных и неполярных аминокислот, а не индивидуальная природа остатка. Лишь в тех случаях, когда порядок чередования позволяет гидрофобным и гидрофильным остаткам распределиться на противоположных сторонах спирали, происходит слипание гидрофобных поверхностей спиралей, приводящее к свертыванию спиральных фрагментов в глобулу. Данному условию могут удовлетворять многие наборы первичных структур, что и объясняет, по-видимому, сильную «вырожденность» третичной структуры гемоглобинов, т. е. сохранение общего рисунка молекулы при большом числе индивидуальных замен.

Несмотря на однотипное свертывание полипептидных цепей в леггемоглобине и миоглобине, в деталях третичной структуры этих белков был выявлен ряд различий, из которых наиболее существены следующие. В леггемоглобине удлинены спирали *E* и *P* и укорочены неспиральные участки, кроме участка *CD*, удлинившегося на два остатка. Спираль *D* в леггемоглобине практически отсутствует. Увеличение спиральности и сокра-

щение длины неспиральных участков могло бы придать молекуле леггемоглобина большую жесткость. Однако присутствие в молекуле этого белка нескольких полостей может способствовать увеличению ее конформационной подвижности. Отличительной особенностью леггемоглобина является также то, что в кластере дистального гистидина имеется большее количество остатков ароматических аминокислот, а кластерproxимального гистидина характеризуется более плотной упаковкой, чем в миоглобине. В полости гемового кармана леггемоглобина появляется вторая полярная группа (гидроксильная группа Тир H12), как в гемоглобине Glycera [5], а функционально важный Тир H23 миоглобина заменен в леггемоглобине на остаток метионина, как в гемоглобине Chironomus [3]. Несомненно, что структурность такого рода различий оказывает влияние на функционирование и свойства леггемоглобина.

ЛИТЕРАТУРА

- Kendrew J. C., Dickerson R. E., Strandberg B. E., Hart R. G., Davis D. R., Phillips D. C., Shore V. C. (1960) *Nature*, **185**, 422–427.
- Perutz M. F., Muirhead H., Cox J. M., Goaman L. C. G. (1968) *Nature*, **219**, 131–139.
- Huber R., Epp O., Steigemann W., Formanek H. (1971) *Eur. J. Biochem.*, **19**, 42–50.
- Hendrickson W. A., Love W. E. (1971) *Nature New Biol.*, **197**–203.
- Padlan E. A., Love W. E. (1974) *J. Biol. Chem.*, **249**, 4067–4078.
- Appleby C. A. (1974) в кн.: *The biology of nitrogen fixation* (Quispel A., ed.), pp. 521–554, North-Holland Publishing Co., Amsterdam.
- Егоров Ц. А., Казаков В. К., Шахпаронов М. И., Фейгина М. Ю., Миталева С. И., Овчинников Ю. А. (1976) *Биоорган. химия*, **2**, 125–128.
- Егоров Ц. А., Казаков В. К., Шахпаронов М. И., Фейгина М. Ю., Костецкий П. В. (1978) *Биоорган. химия*, **4**, 476–480.
- Вайнштейн Е. К., Арутюнян Э. Г., Куранова И. П., Борисов В. В., Сосченов И. И., Павловский А. Г., Гребенко А. И., Копарева Н. В., Некрасов Ю. В. (1978) *Кристаллография*, **23**, 517–527.
- Wittenberg J. B., Appleby C. A., Wittenberg B. A. (1972) *J. Biol. Chem.*, **247**, 527–531.
- Appleby C. A., Wittenberg B. A., Wittenberg J. B. (1973) *Proc. Nat. Acad. Sci. USA*, **70**, 564–568.
- Ellfolk N. (1961) *Acta chem. scand.*, **15**, 975–984.
- Takano T. (1977) *J. Mol. Biol.*, **110**, 537–568.
- Козицын С. А., Птицын О. Б. (1974) *Мол. биол.*, **8**, 536–542.
- Perutz M. F., Teneyck L. F. (1972) *Cold Spring Harbor Sympos. Quant. Biol.*, **36**, 295–310.
- Takano T. (1977) *J. Biol. Chem.*, **110**, 569–584.
- Sick H., Gersonde K., Thompson J. C., Maurer W., Haar W. (1972) *Eur. J. Biochem.*, **29**, 217–223.
- Richardson M., Dilworth M. J., Scawen M. D. (1975) *FEBS Lett.*, **51**, 33–37.
- Vuc-Pavlovic S., Benko B., Maricic S., Lahajanar G., Kuranova I. P., Vainstein B. K. (1976) *Int. J. Peptide Protein Res.*, **8**, 427–434.

Поступила в редакцию
18.VI.1979

После доработки
10.IX.1979

LEGHEMOGLOBIN II FROM YELLOW LUPIN. THE PECULIARITIES OF ITS STRUCTURE AS COMPARED WITH SPERM WHALE MYOGLOBIN

VAINSTEIN B. K., KURANOVA I. P., HARUTYUNIAN E. G., EGOROV Ts. A.

A. V. Shubnikov Institute of Crystallography and M. M. Shemyakin Institute of Bioorganic Chemistry, Academy of Sciences of the USSR, Moscow

A comparative analysis of the tertiary structures of leghemoglobin II from yellow lupin root nodules (*Lupinus luteus* L.) and sperm whale myoglobin was carried out. The overall structures of the proteins are quite similar, differing only in some details. Among 26 invariant amino acid residues are distal E7 and proximal F8 histidines, CD1 phenylalanine and some other. All the residues, with the exception of three of them, form the same network of contacts. In leghemoglobin II, the cluster which forms the microenvironment of the distal histidine includes a high percentage of aromatic amino acid residues, whereas a denser packing is characteristic of the cluster in the proximal histidine surrounding.